

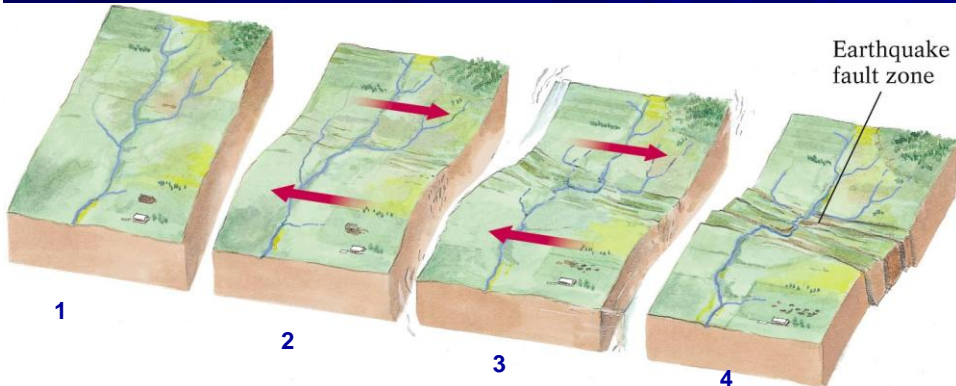
DEPREM ODAK MEKANİZMASI

Doç.Dr. Eşref YALÇINKAYA
(9. Ders)

Elastik rebound (yenilenme) teorisi :

Elastik Rebound Teorisi'ne göre;

- Komşu blokların birbirine göre hareketi ve elastik deformasyon enerjisinin depolanması
- Fay yoksa çevredeki kayaçların dayanma gücü aşıldığında, fay varsa sürtünme kuvveti aşıldığında kaymanın başlaması

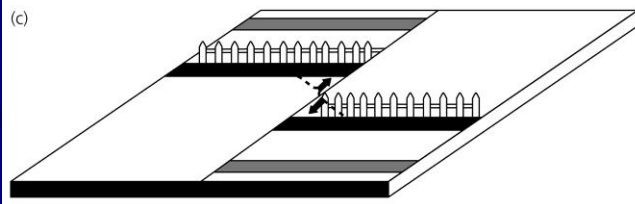
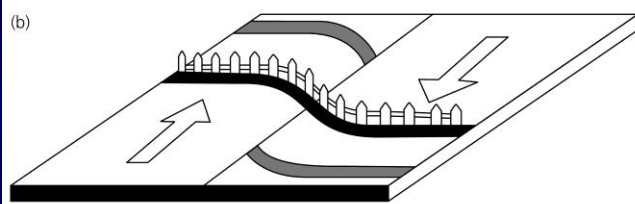
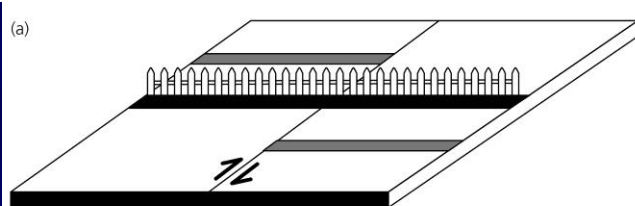
1. Gerilme birikimi**2. Fay boyunca elastik deformasyon**

3. Kayaç dayanımının aşıldığı noktada kırılmanın başlaması

4. Fay alanı boyunca depolanan enerjinin serbestlenmesi

E. YALÇINKAYA

3



E. YALÇINKAYA

4



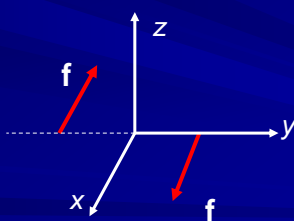
E. YALÇINKAYA

5

Kaynak modelleri :

■ Tek kuvvet çifti

**Birbirine eşit, fakat ters yönlü iki kuvvet
ve moment sıfırdan farklı.**

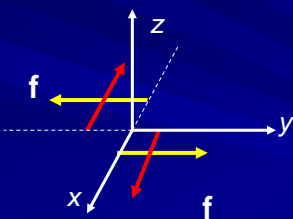


E. YALÇINKAYA

6

■ İki kuvvet çifti

Birbirinin aynı iki kuvvet çifti, fakat birbirlerine karşı koyacak yönde etkidiğinden moment sıfır.

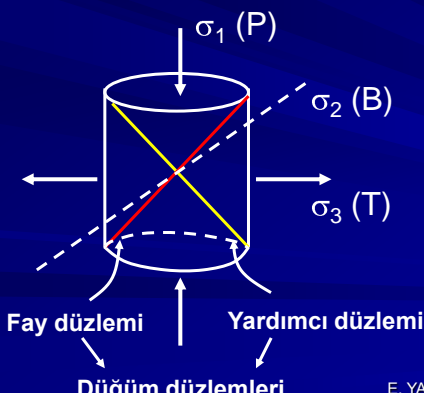


E. YALÇINKAYA

7

Asal Gerilmeler ve Ana Faylanma Türleri

Deprem odak bölgesinde gerilme bileşenleri üç eksende incelenebilir.

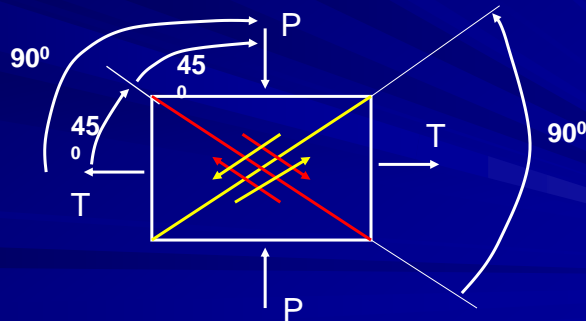


E. YALÇINKAYA

- P ; “maksimum basınc” eksenini veya maksimum asal gerilme
- T ; “maksimum tansiyon” eksenini veya minimum asal gerilme
- B ; orta gerilme eksenini veya sıfır vektörü

8

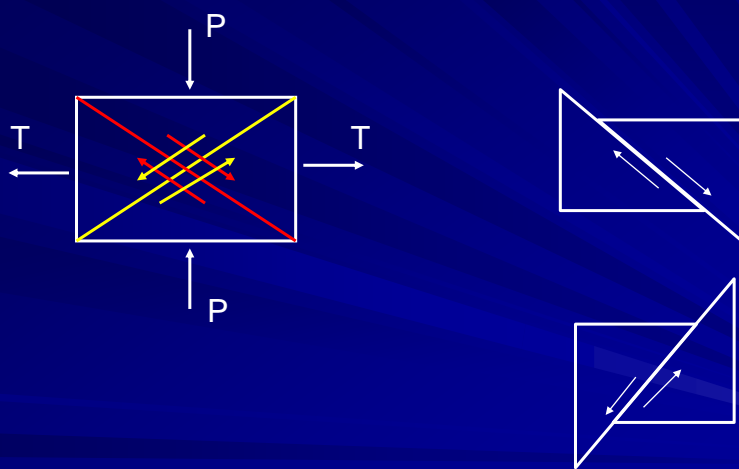
- Gerilme bileşenleri (P , T ve B eksenleri) arasında daima 90 derece açı farkı vardır.
- Düğüm düzlemleri ile P ve T eksenleri arasında daima 45 derece açı farkı vardır.
- Fay düzlemi ile yardımcı düzlem arasında daima 90 derece açı farkı vardır.



E. YALÇINKAYA

9

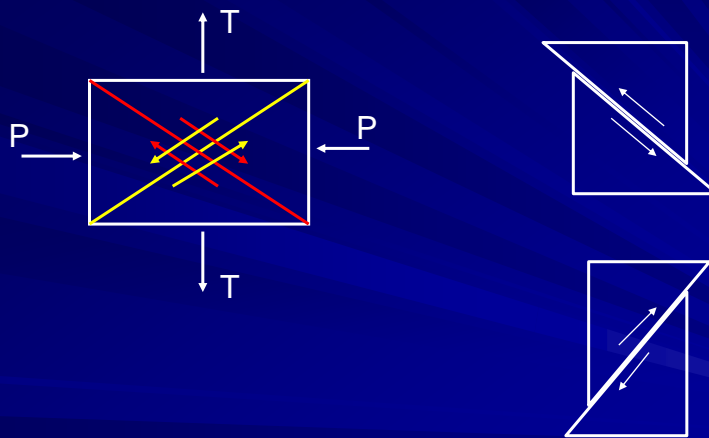
■ Normal faylanma



E. YALÇINKAYA

10

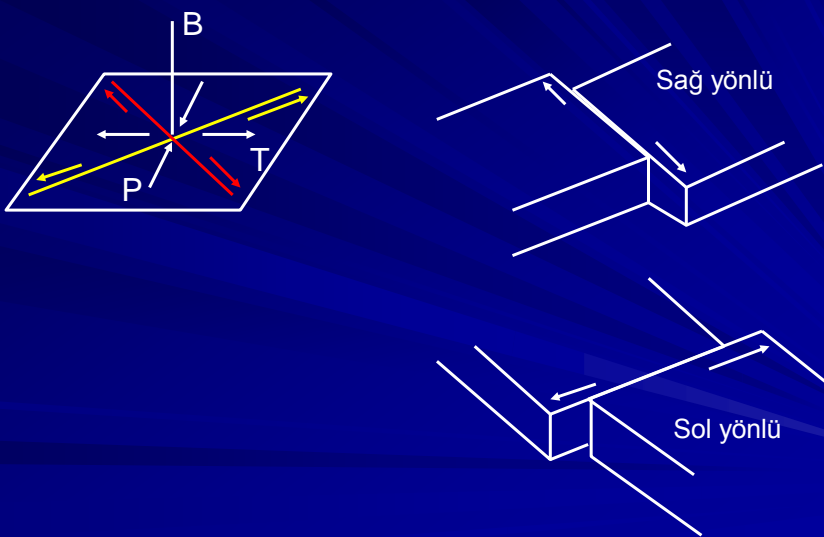
■ Ters faylanma



E. YALÇINKAYA

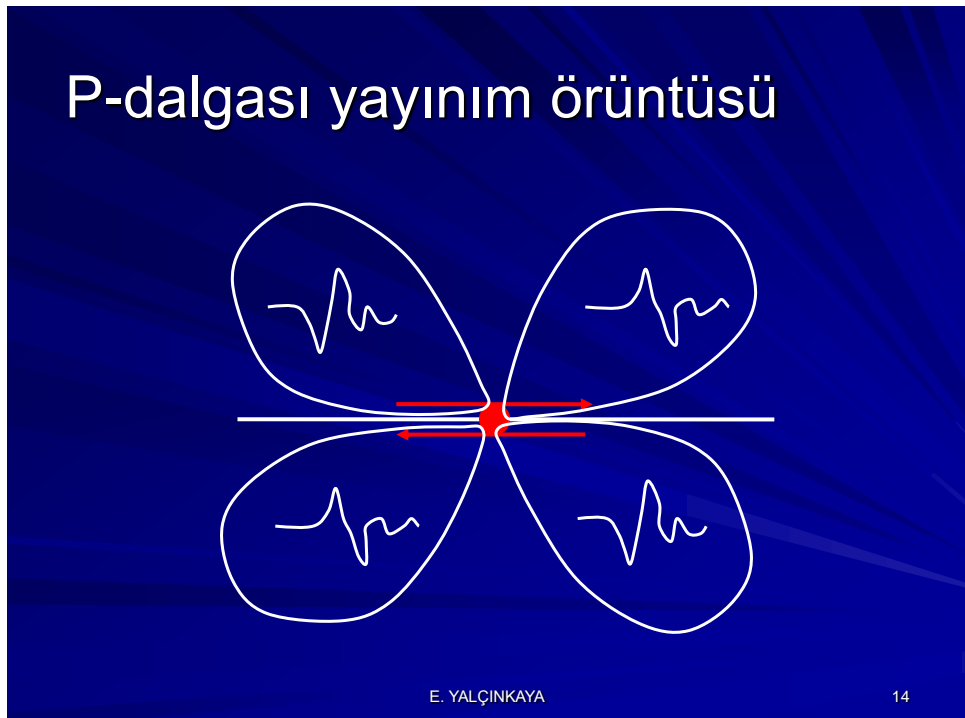
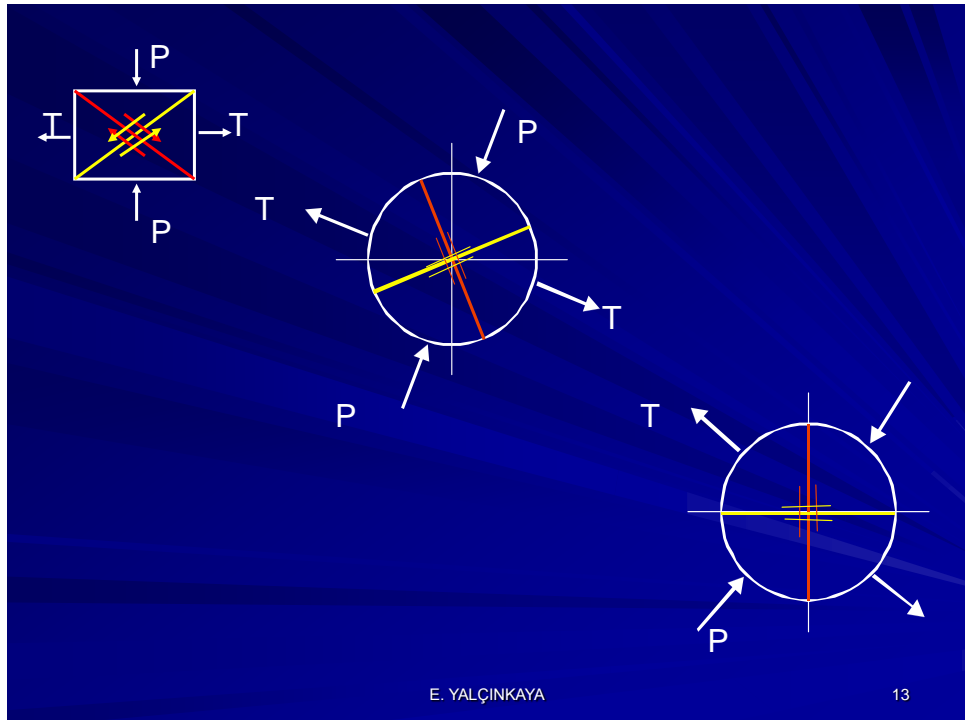
11

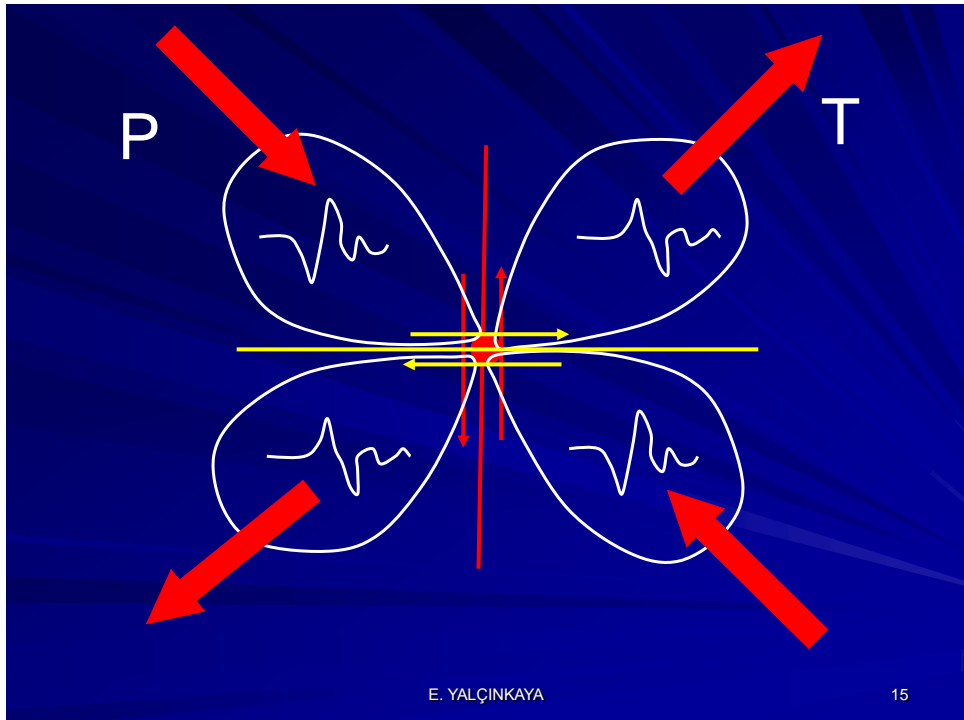
■ Doğrultu atımlı faylanma



E. YALÇINKAYA

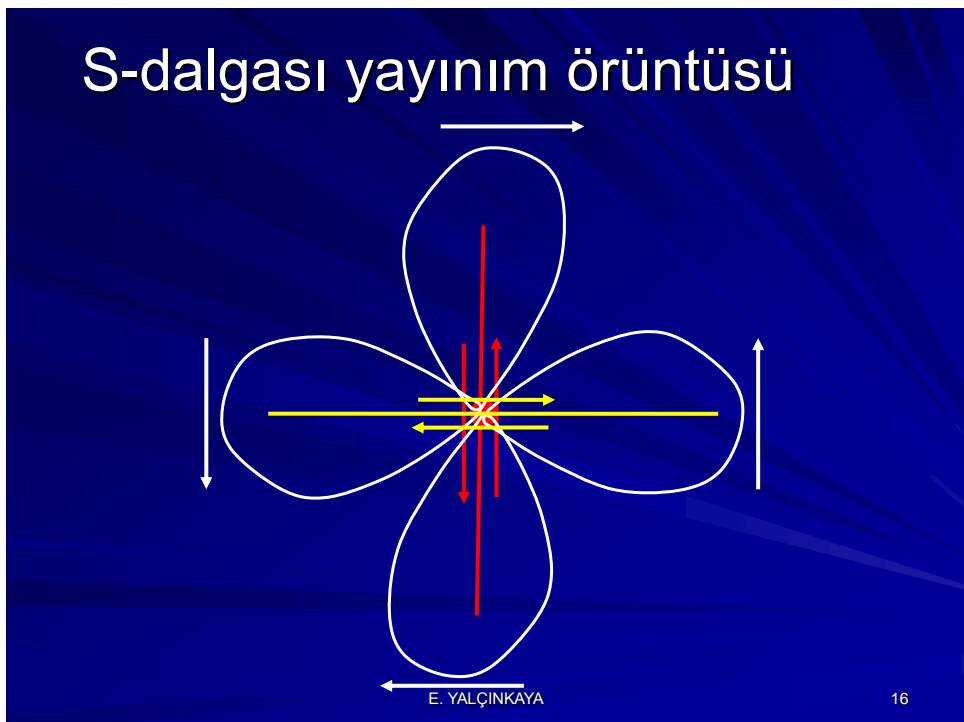
12





E. YALÇINKAYA

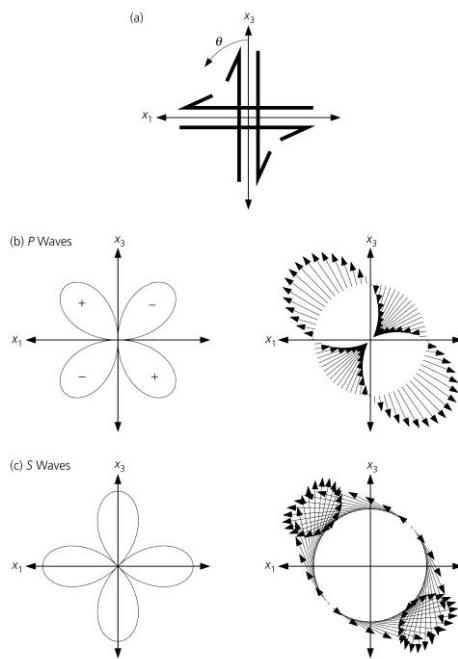
15



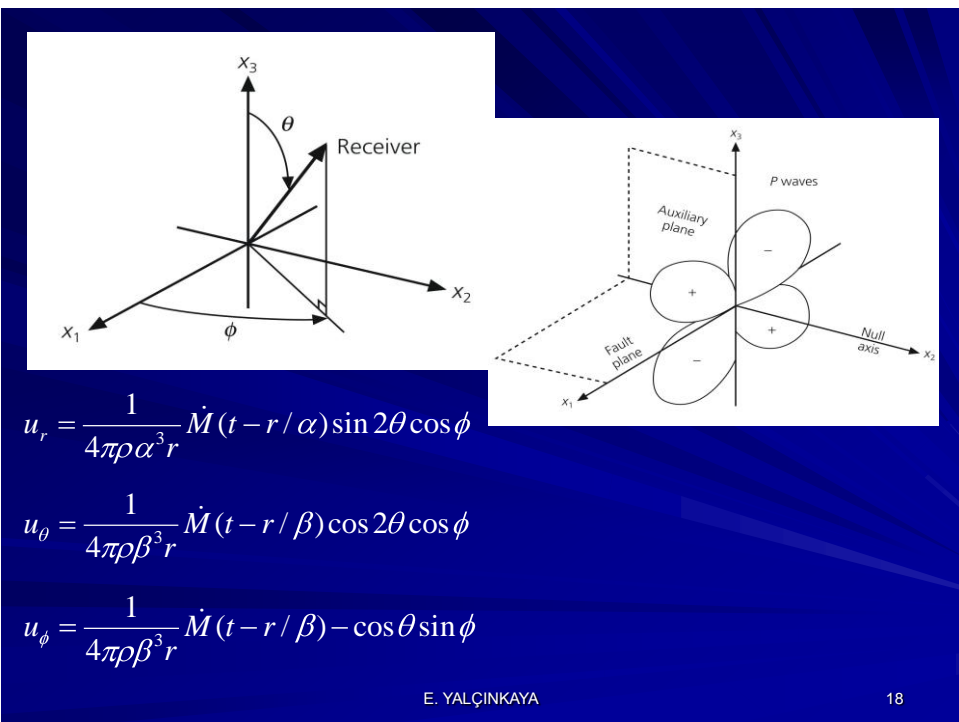
E. YALÇINKAYA

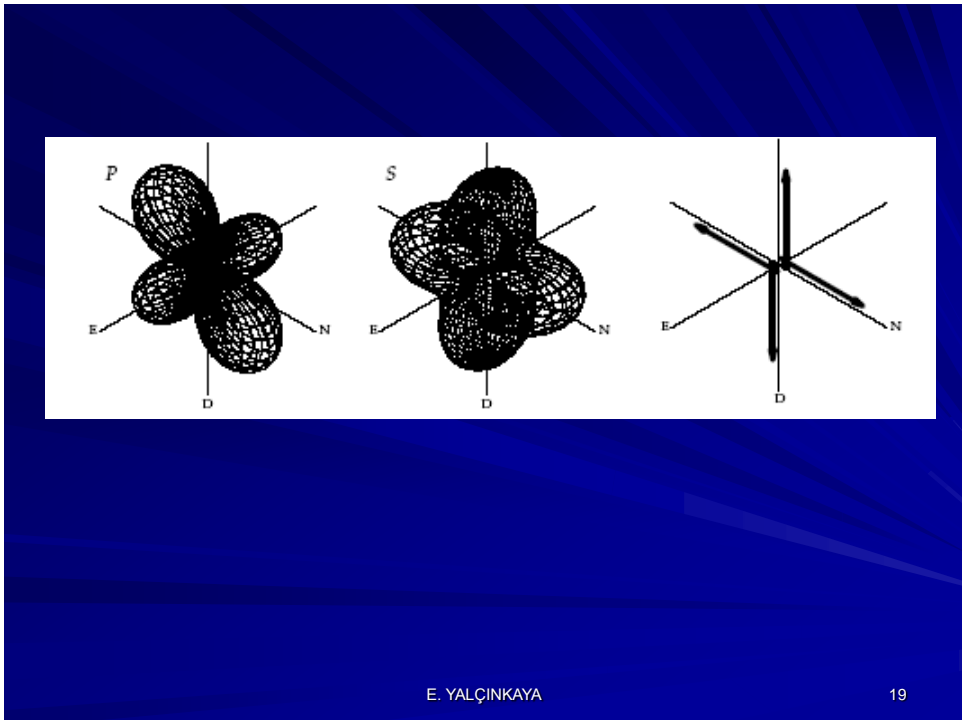
16

İki kuvvet çifti
modelinde P ve S
dalgaları genlik ve
ilk hareket
dağılımları



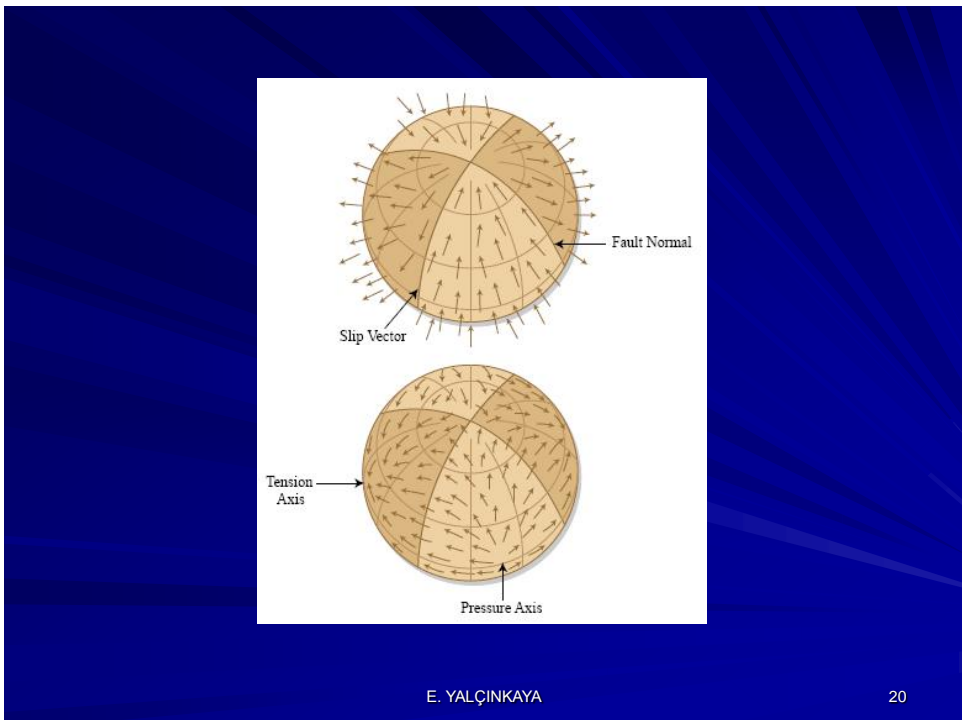
17





E. YALÇINKAYA

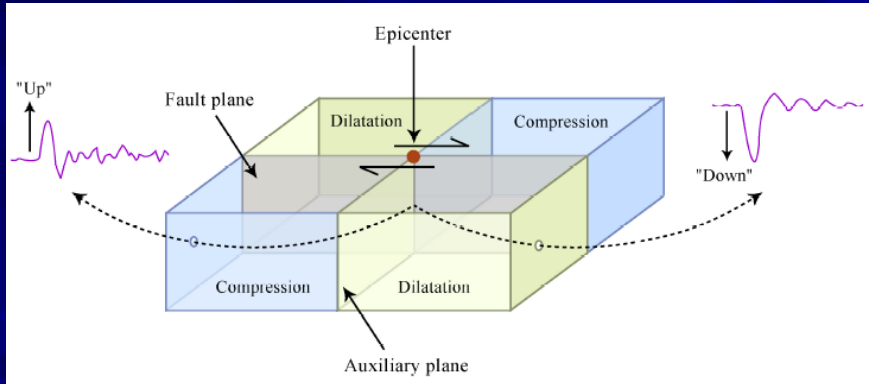
19



E. YALÇINKAYA

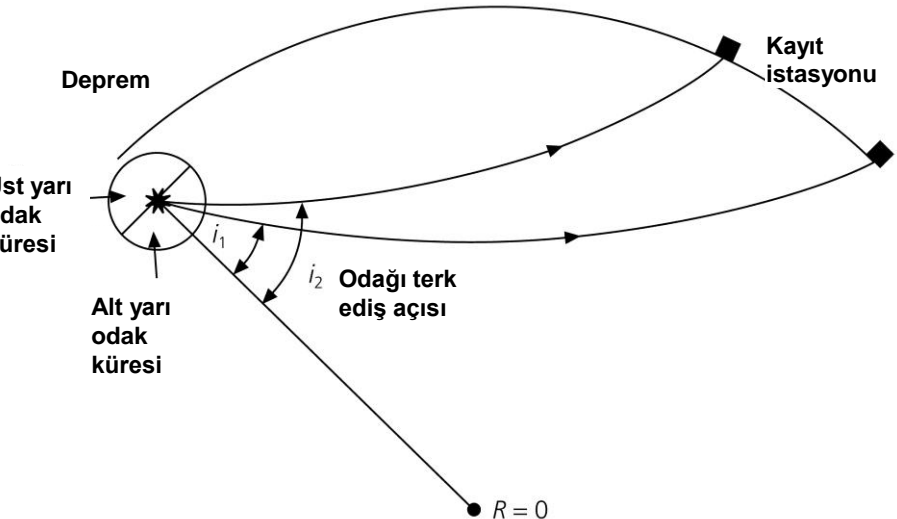
20

P-dalgası ilk hareketlerinden odak mekanizması çözümü



E. YALÇINKAYA

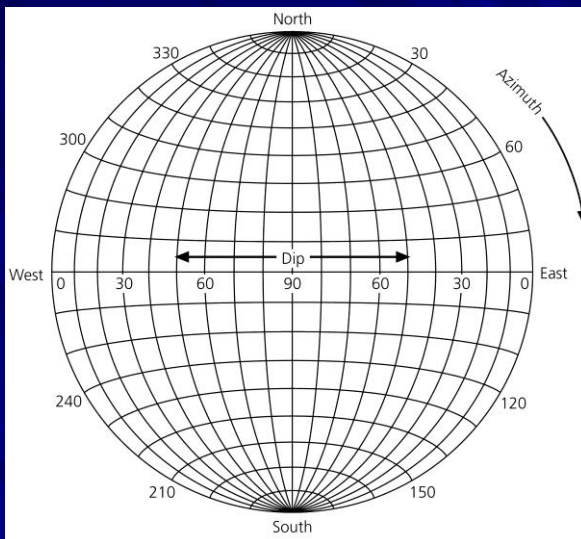
21



E. YALÇINKAYA

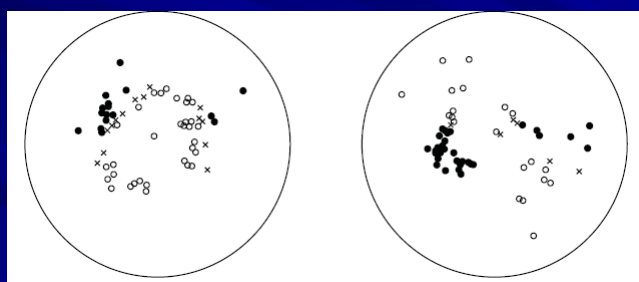
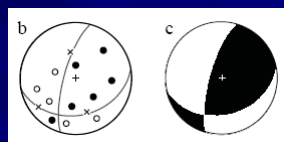
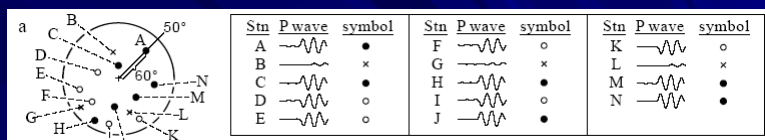
22

Sterografik Projeksiyon



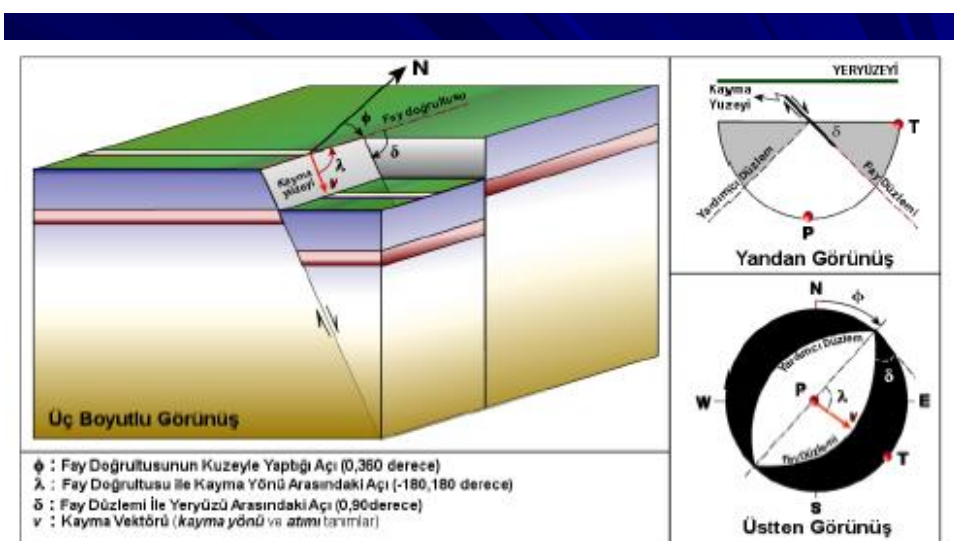
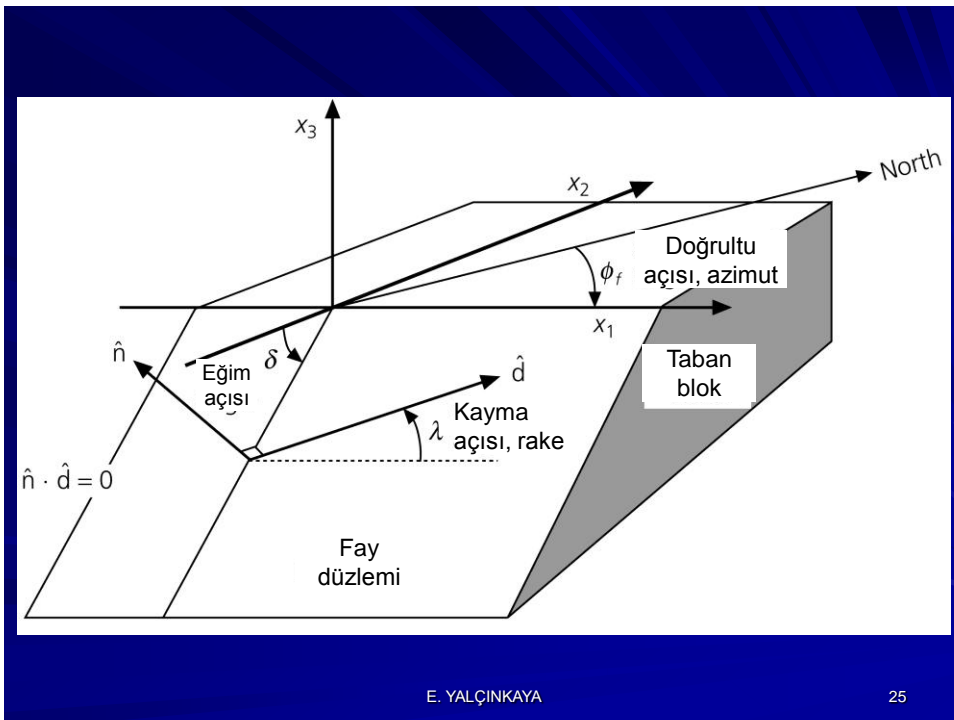
E. YALÇINKAYA

23

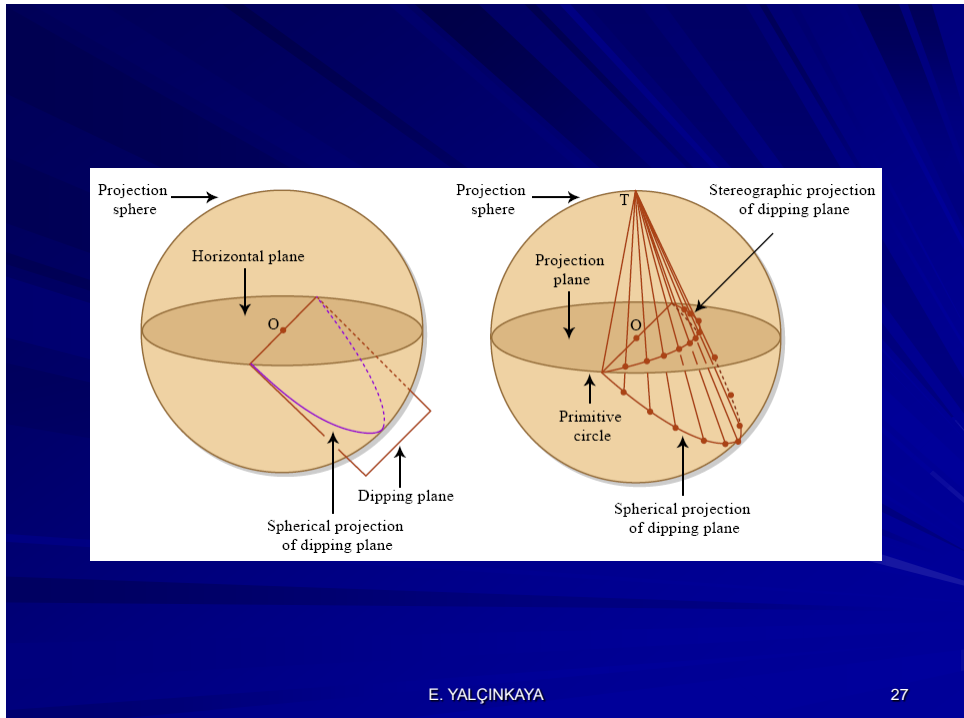


E. YALÇINKAYA

24

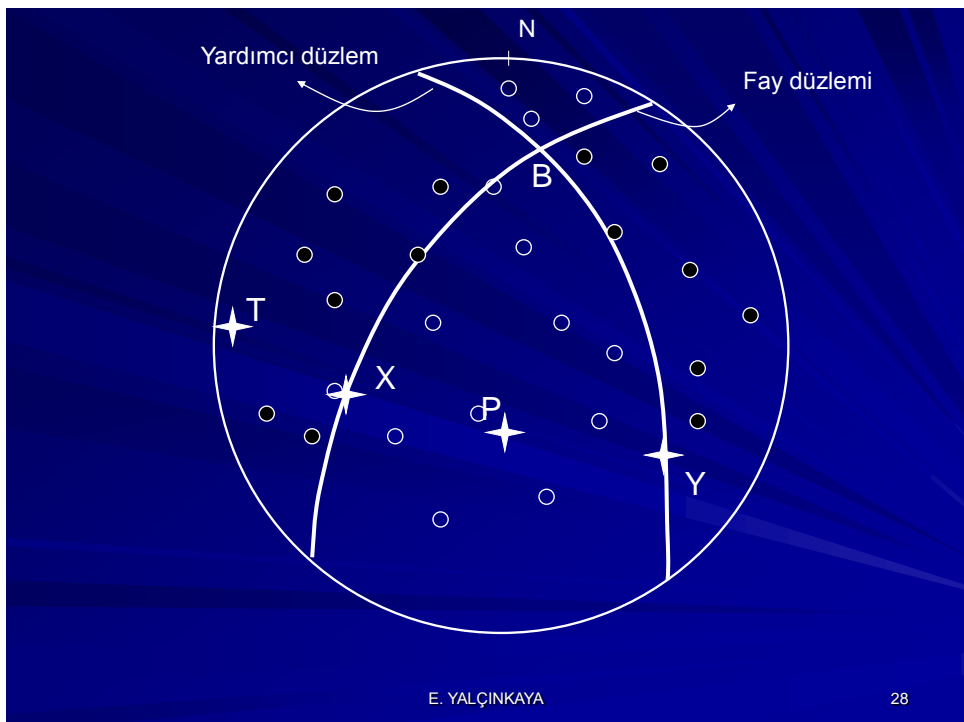


M. Yılmazer



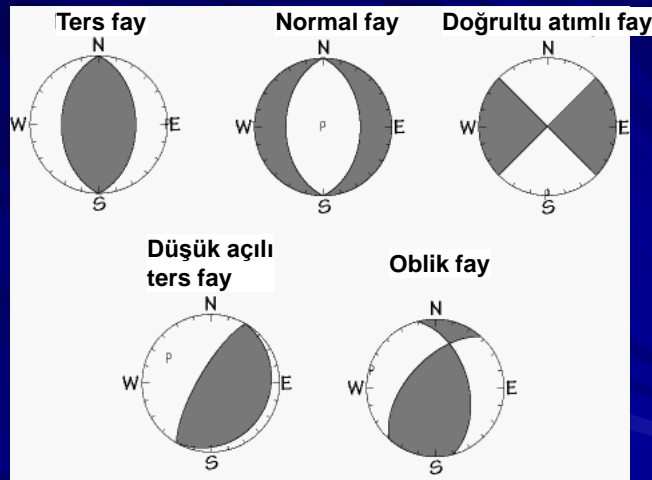
E. YALÇINKAYA

27



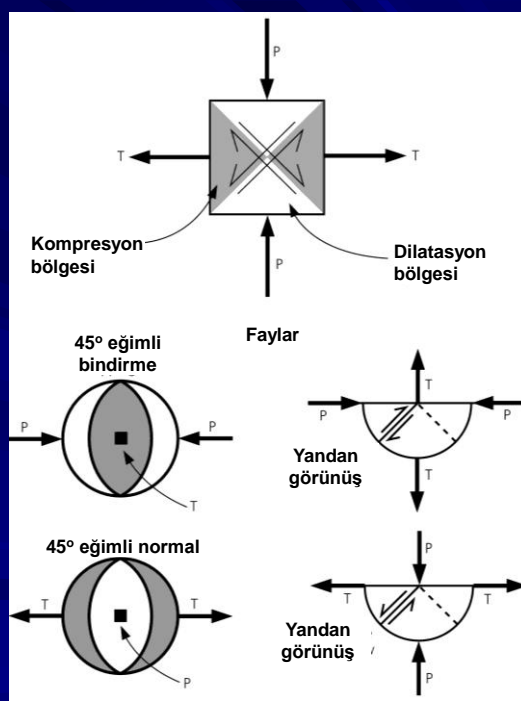
E. YALÇINKAYA

28

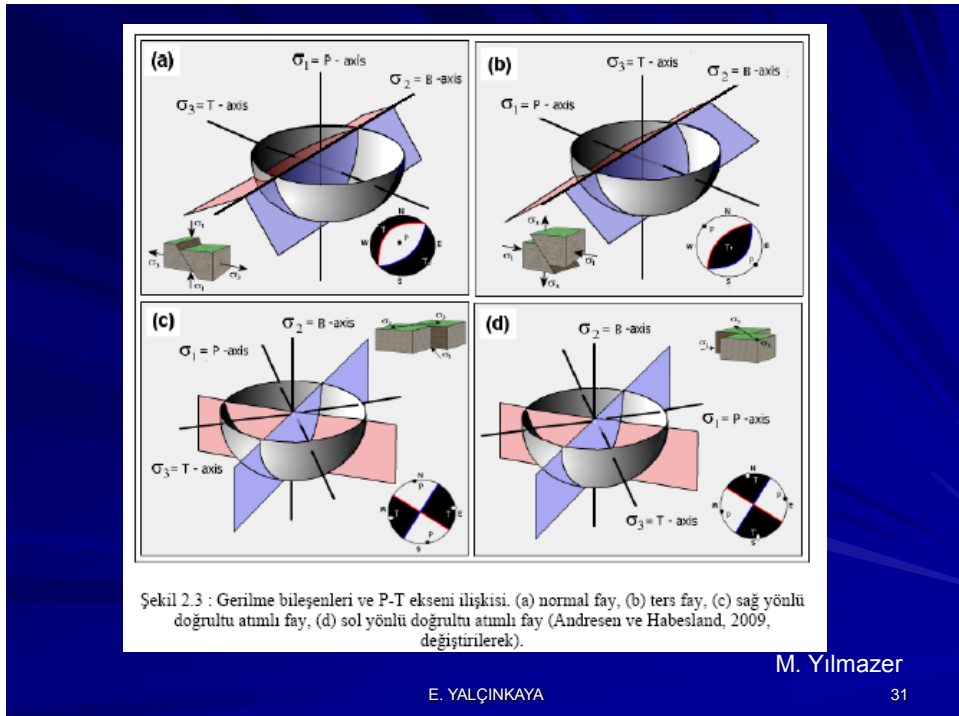


E. YALÇINKAYA

29



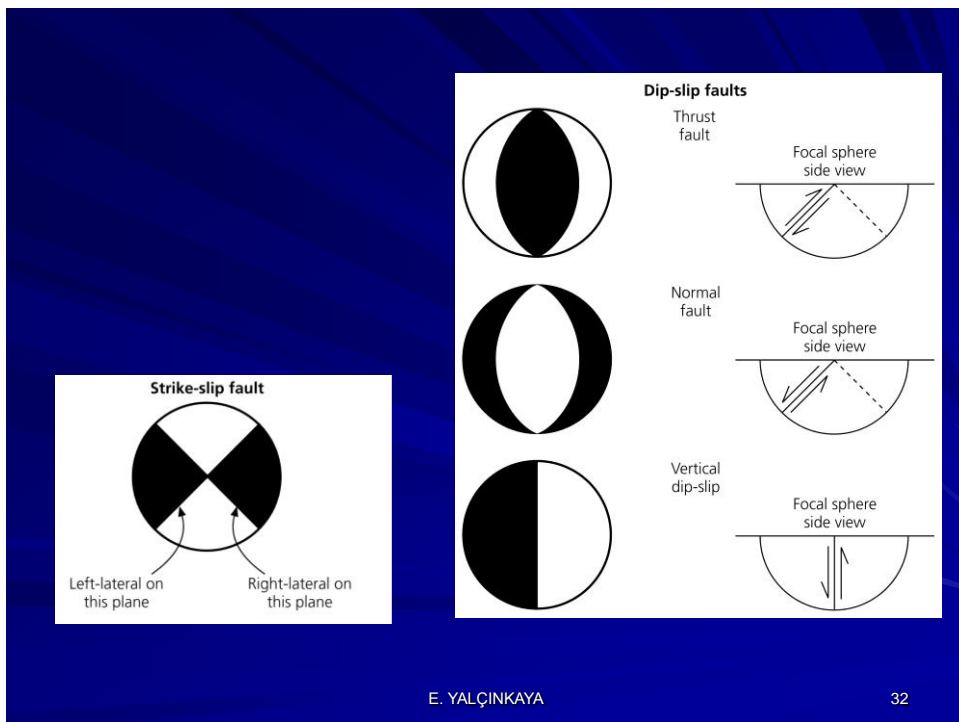
30



M. Yılmazer

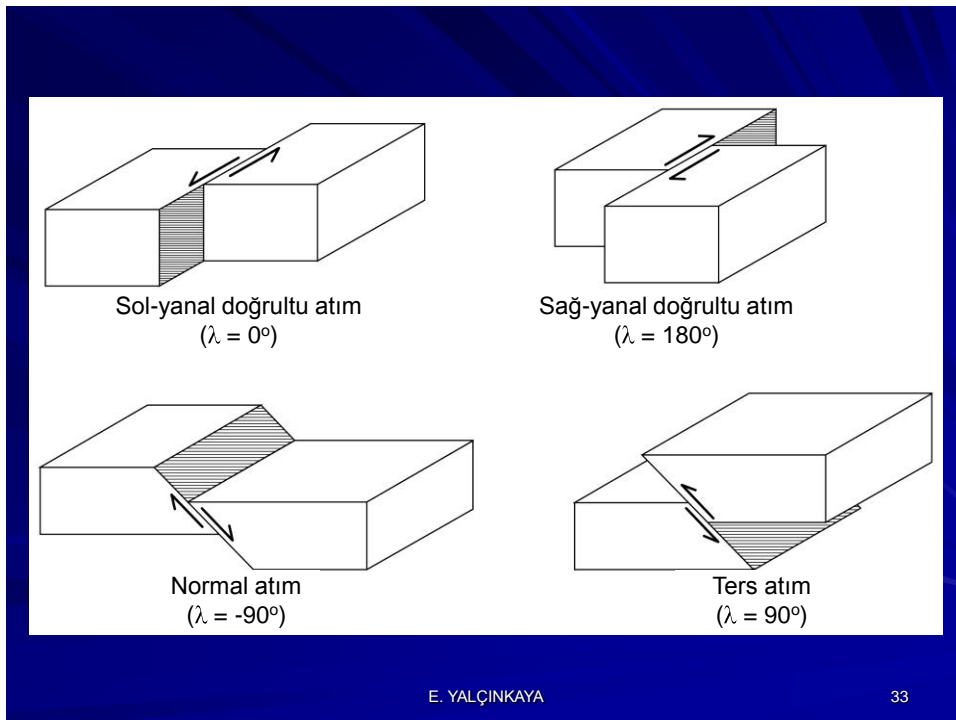
E. YALÇINKAYA

31



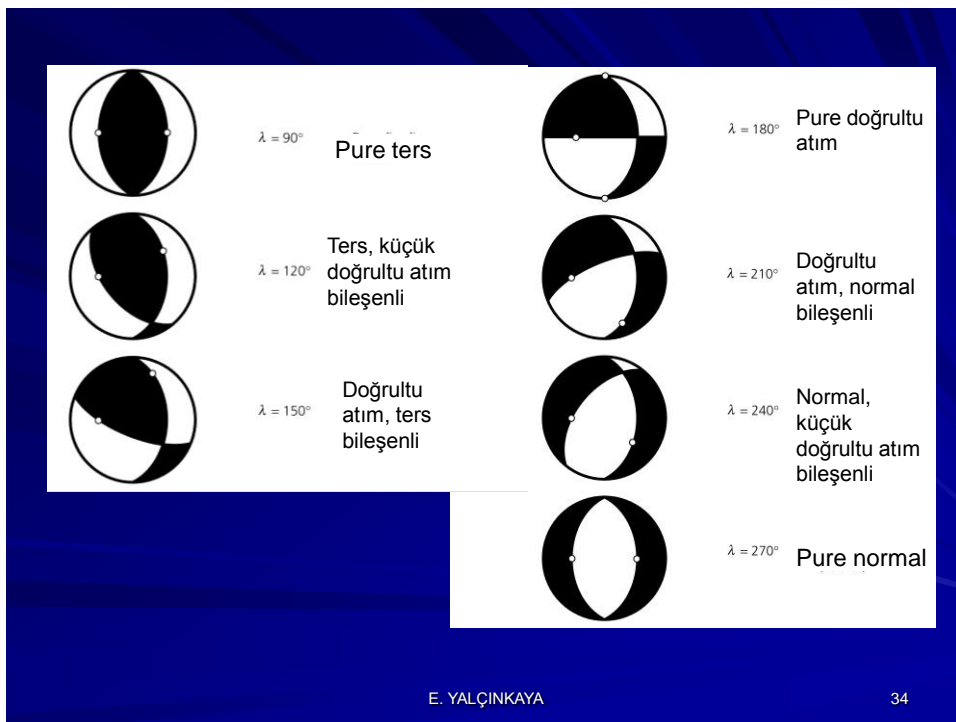
E. YALÇINKAYA

32



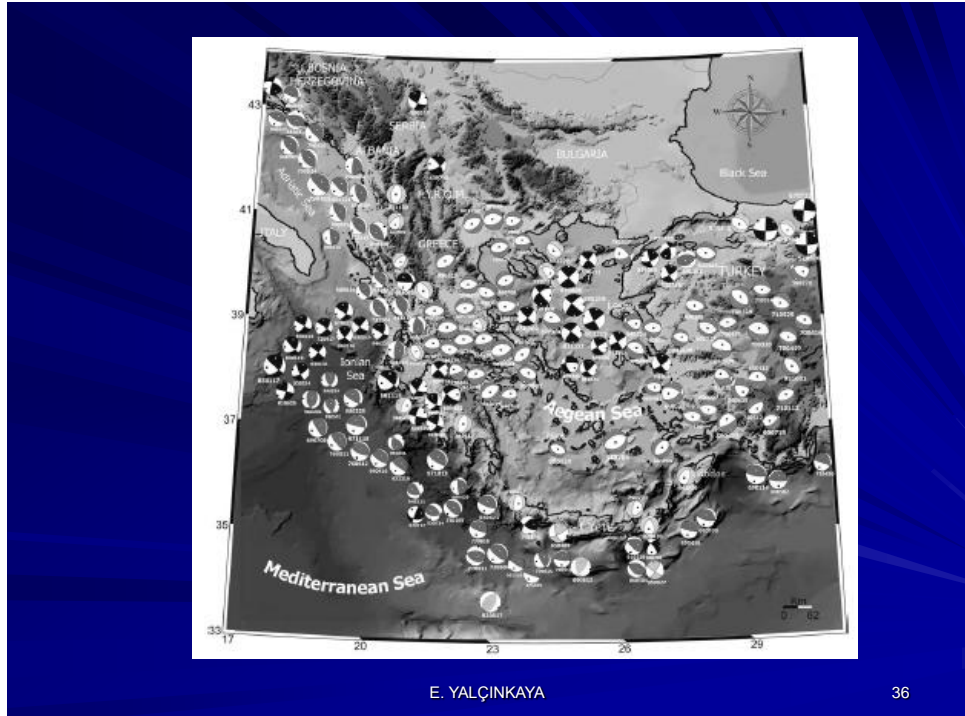
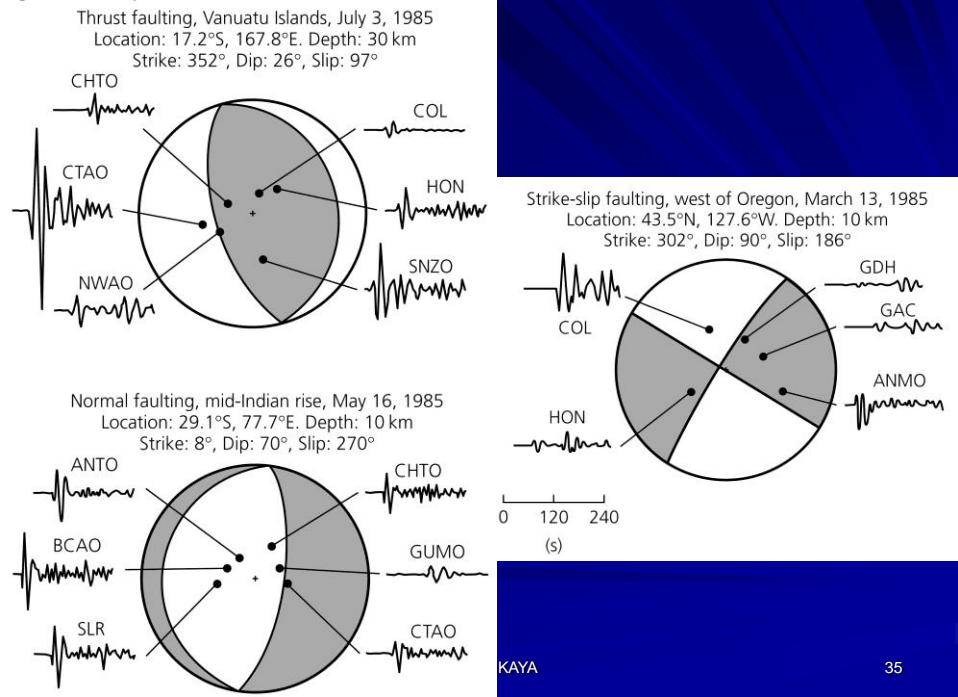
E. YALÇINKAYA

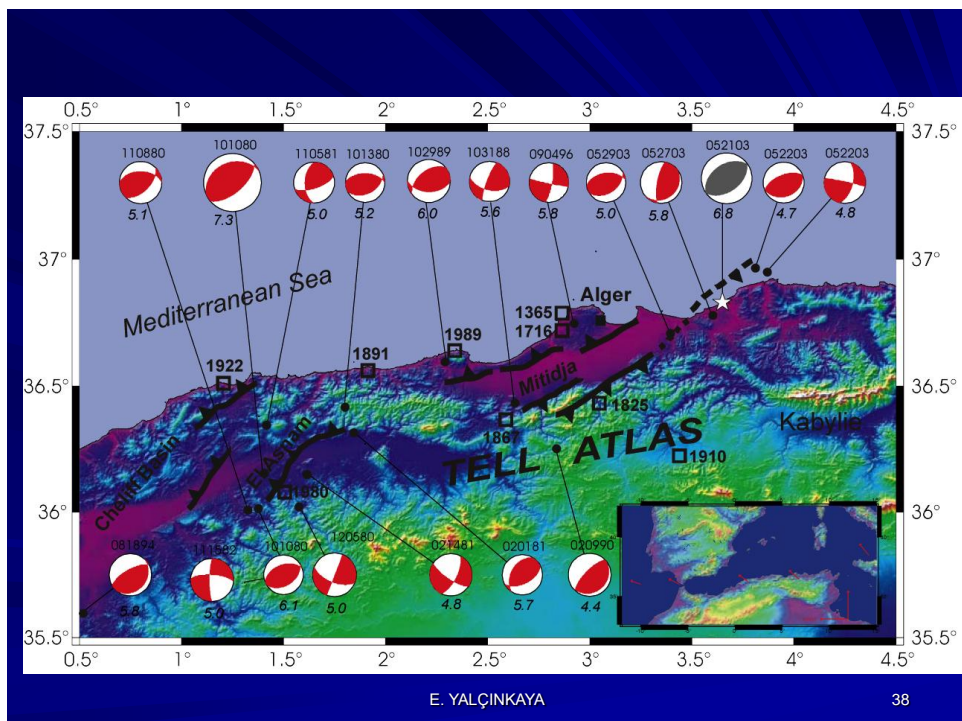
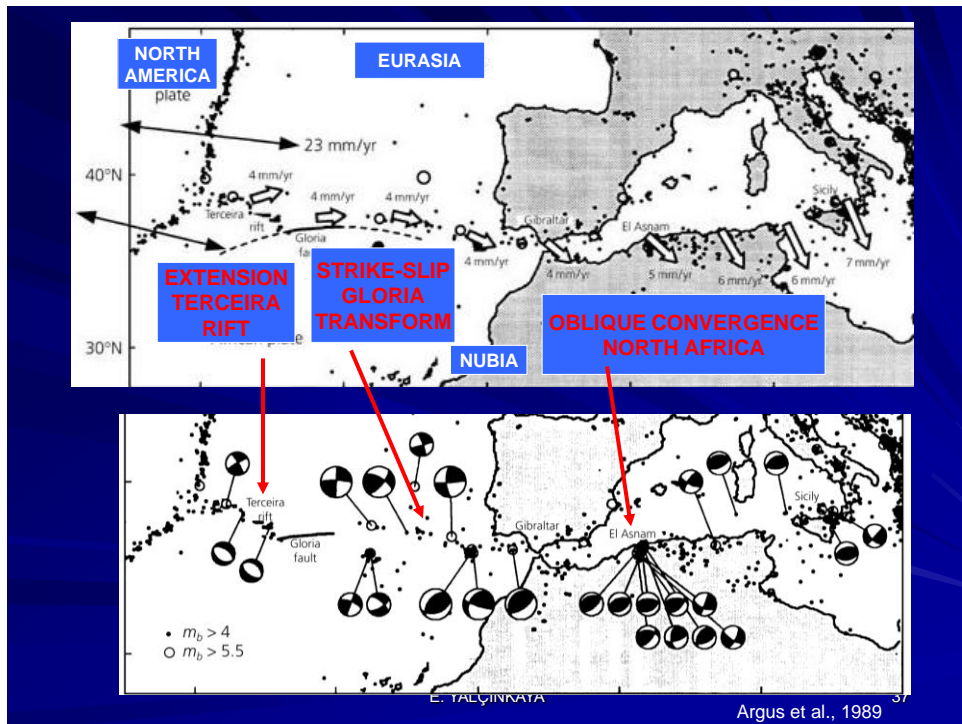
33

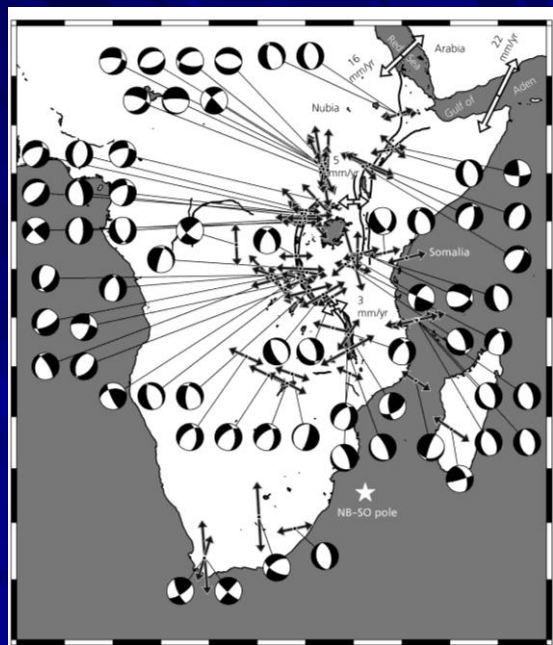


E. YALÇINKAYA

34

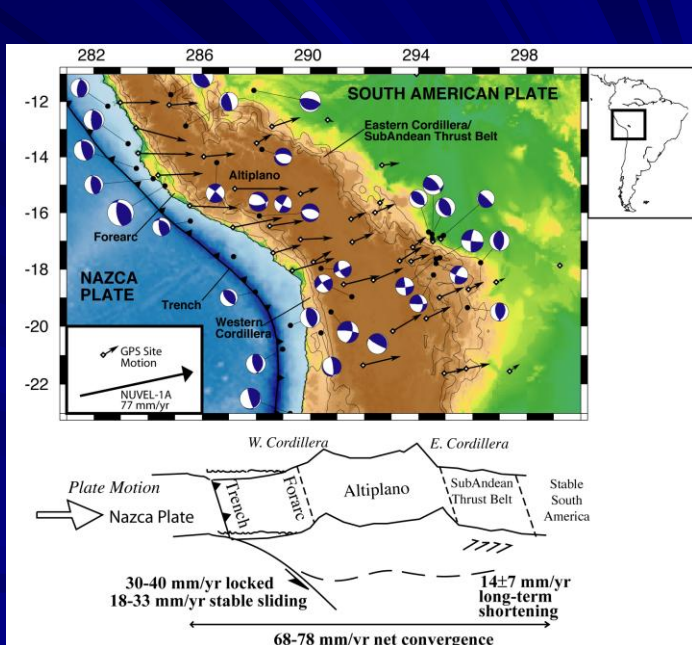
Figure 4.2-17: Examples of focal mechanisms and first motions.





E. YALÇINKAYA

39



E. YALÇINKAYA

40

BİTTİ !



E. YALÇINKAYA

41